

UNIVERSITÉ DE BORDEAUX

MASTER 2 : CRYPTOLOGIE ET SÉCURITÉ
INFORMATIQUE

PROJET DE FIN D'ÉTUDES

Wave - Un procédé de signature à base de codes correcteurs

Suzanne LANSADÉ
Eva PALANDJIAN

Encadrant:
Gilles ZEMOR

Février, 2020



Contents

Introduction	2
1 Le schéma de signature Wave	2
1.1 La famille de codes $(U, U+V)$ -généralisés	2
1.2 Le principe de signature	4
1.3 Le décodage avec trappe	6
1.4 Implémentation et choix de paramètres	10
2 Uniformisation des signatures et syndromes	11
2.1 Une fuite d'information	11
2.2 La méthode du rejet	12
2.3 Choix des algorithmes de décodage	14
2.4 Estimation du nombre de rejet	14
2.5 Une famille de fonctions uniformément distribuée	16
3 Sécurité du schéma	17
3.1 Sécurité EUF-CMA	17
3.1.1 Définitions	17
3.1.2 Réduction au problème DOOM	18
3.1.3 Preuve formelle de la réduction	18
3.2 Indistinguabilité des codes $(U, U+V)$ -généralisés	21
Conclusion	21

Introduction

- passage au post-quantique
 - appel d'offre NIST
 - > tableau : aucun code correcteur en signatures
 - dur de trouver l'ensemble des syndromes facilement décodable
 - dur de créer une fonction de hachage qui envoie m dans l'ensemble des syndromes possibles
 - problème du décodage NP-complet
 - mot y de syndrome s est associé à un unique mot de code c le plus proche de y
- quand on chiffre -> ne pose pas de problème
quand on signe -> pose un problème car il est dur de trouver un syndrome de cette sorte
la solution Wave est d'enlever la restriction au mot le plus proche
Nous allons détailler le schéma de signature Wave et détailler sa sécurité.

1 Le schéma de signature Wave

Nous allons détailler dans cette section le schéma de signature Wave. C'est un schéma de type hache et signe à base de codes correcteurs. Pour des raisons de clarté nous oublierons dans un premier temps la problématique du hachage. Nous le réintroduirons en fin de rapport afin de proposer une preuve formelle de la sécurité du schéma, où la fonction de hachage est alors nécessaire. Pour l'instant, nous considérerons que l'entrée de l'algorithme de signature est déjà un syndrome du code considéré.

Le schéma de signature Wave s'appuie sur une famille de codes appelés des codes $(U, U+V)$ -généralisés. La structure de ces codes nous permettrons de proposer un algorithme de décodage \mathcal{D} utilisant une trappe T et donnant un avantage par rapport à un algorithme de décodage générique. Ce système s'appuie aussi sur la notion de fonctions GPV en moyenne, que nous détaillerons.

1.1 La famille de codes $(U, U+V)$ -généralisés

Définition des codes $(U, U+V)$ -généralisés:

- Comment les créer FAIT

- Choix des paramètres a, b, c, d À DÉTAILLER
- Liens entre les matrices des codes U et V et du code UV FAIT
- Les dimensions et différents paramètres EN COURS
- Calcul du hull $\implies q > 2$ TODO
- ...?

Définition 1.1. Soient U et V deux codes de même longueur $n/2$ et de dimension respectives k_u et k_v . Un code $(U, U + V)$ est un code de longueur n et de dimension $k = k_u + k_v$ et tel que :

$$(U, U + V) = \{(u, u + v) \text{ tel que } u \in U \text{ et } v \in V\}$$

Définition 1.2. (codes $(U, U + V)$ -généralisés) Soient n un entier pair et a, b, c, d quatres vecteurs de $\mathbb{F}_q^{n/2}$ tels que pour tout $i \in 1, n/2$:

$$a_i c_i \neq 0$$

$$a_i d_i - b_i c_i \neq 0$$

Soient U et V deux codes définis comme précédemment. Le code $(U, U + V)$ -généralisé correspond à l'ensemble :

$$\{(a.u + b.v, c.u + d.v) \text{ tel que } u \in U \text{ et } v \in V\}$$

où $x.y$ est le produit coordonnée par coordonnée des x_i et y_i .

Remarque 1.3. Dans la suite, on prend a, b, c, d tels que

$$a_i d_i - b_i c_i = 1 \text{ pour tout } i \in 1, n/2.$$

Proposition 1.4. Soient U, V, a, b, c et d définis comme précédemment. Soit UV le code $(U, U + V)$ -généralisé associé. Alors

$$k = \dim UV = k_u + k_v.$$

De plus soient $G_U \in \mathbb{F}_q^{k_u \times n/2}$ (respectivement $G_V \in \mathbb{F}_q^{k_v \times n/2}$) et $H_U \in \mathbb{F}_q^{(n/2 - k_u) \times n/2}$ (respectivement $H_V \in \mathbb{F}_q^{(n/2 - k_v) \times n/2}$) les matrices génératrices et de parité des codes U et V . Soient A, B, C, D de $\mathbb{F}_q^{n \times n}$ les matrices diagonales de diagonales respectives les vecteurs a, b, c et d .

Alors la matrice de $\mathbb{F}_q^{(k_u + k_v) \times n}$:

$$G := \left(\begin{array}{c|c} G_u A & G_u C \\ \hline G_v B & G_v D \end{array} \right)$$

et la matrice $\mathbb{F}_q^{(n-k_u-k_v) \times n}$.

$$H := \left(\begin{array}{c|c} H_u D & -H_u B \\ \hline -H_v C & H_v A \end{array} \right)$$

sont des matrices génératrices et de parité du code UV .

Preuve. Remarquons d'abord que G engendre bien le code UV . Remarquons aussi que

$$\left(\begin{array}{c|c} G_u A & G_u C \\ \hline G_v B & G_v D \end{array} \right) = \left(\begin{array}{c|c} G_u & 0 \\ \hline 0 & G_v \end{array} \right) \left(\begin{array}{c|c} A & C \\ \hline B & D \end{array} \right)$$

Par définition des matrices G_U et G_V , la matrice $\left(\begin{array}{c|c} G_u & 0 \\ \hline 0 & G_v \end{array} \right)$ est de rang $k_u + k_v$. De plus les matrices A, B, C, D étant diagonales, le déterminant de la matrice $\left(\begin{array}{c|c} A & C \\ \hline B & D \end{array} \right)$ est le produit des $(a_i d_i - b_i c_i)$ pour $i \in 1, n/2$, et donc non-nul par définition des vecteurs a, b, c, d . On a donc bien $k = k_u + k_v$.

On remarque aussi que $GH^T = 0$ et que H est de rang plein par le même raisonnement que précédemment, ce qui conclut la preuve. \square

$q = 2 \rightarrow$ calcul du hull \rightarrow fuite d'info.

On pose donc $q = 3$ pour toute la suite du rapport.

1.2 Le principe de signature

Un schéma hash et signe utilisant la fonction syndrome comme fonction à sens unique :

- Définition des fonctions GPVM, un couple (Trapdoor, InvertAlg) où trapdoor est un algo poly proba renvoyant une matrice de parité et la trappe associée, et où InvertAlg est un algo poly proba prenant en entrée la trappe et renvoyant l'inverse de la fonction syndrome.

De plus, ces fonctions sont (1) bien distribuées, (2) sans fuite d'info en moyenne, (3) sens unique sans la trappe

- Le schéma : un algo signe et un algo verify.

Notre schéma de signature utilisera donc les codes $(U, U + V)$ -généralisés et la fonction syndrome comme fonction à sens unique, sous l'hypothèse de la difficulté de résoudre le problème du décodage.

Nous allons définir la notion de fonctions GPV en moyenne (GPVM). Pour cela, introduisons d'abord la notion de distance statistique.

Définition 1.5. Soient X et Y deux variables aléatoires à valeurs dans le même espace ϵ . Soient \mathcal{D}_X et \mathcal{D}_Y leurs distributions respectives. On définit la distance statistique entre ces deux distributions comme :

$$\rho(\mathcal{D}_X, \mathcal{D}_Y) := \frac{1}{2} \sum_{x \in \epsilon} |\mathcal{D}_X(x) - \mathcal{D}_Y(x)|.$$

Définition 1.6. (Fonctions GPVM). On appelle fonction GPV en moyenne une paire d'algorithmes (**Trapdoor**, **InvertAlg**) ainsi qu'un triplet de fonctions $(n(\lambda), k(\lambda), \omega(\lambda))$ en fonction d'un paramètre de sécurité λ , tels que :

- **Trapdoor** est un algorithme probabiliste et polynomial en 1^λ et renvoyant le couple (H, T) où $H \in \mathbb{F}_q^{(n-k) \times n}$ de rang $n - k$ et T est la trappe associée.
- **InvertAlg** est un algorithme probabiliste et polynomial prenant en entrée la trappe T et un syndrome $s \in \mathbb{F}_q^{n-k}$, et renvoyant $e \in \mathbb{F}_q^n$ de poids ω tel que $eH^T = s$.

De plus, pour *presque toutes* matrices H renvoyées par **Trapdoor**, la fonction est :

1. bien distribuée :
 $\rho(eH^T, s) \in \text{negl}(\lambda)$ où e est pris uniformément dans l'ensemble des mots de poids ω et de longueur n et s est pris uniformément dans \mathbb{F}_q^{n-k} .
2. sans fuite d'information *en moyenne* :
 $\rho(\text{InvertAlg}(s, T), e) \in \text{negl}(\lambda)$ où e est pris uniformément dans l'ensemble des mots de poids ω et de longueur n et s est pris uniformément dans \mathbb{F}_q^{n-k} .

3. À sens unique sans la trappe :

Pour tout algorithme probabiliste polynomial \mathcal{A} , on a

$$\mathbb{P}(\mathcal{A}(H, s) = e \mid eH^T = s) \in \text{negl}(\lambda).$$

C'est une définition relaxée des fonctions GPV.

Nous pouvons maintenant définir notre système de signature.

Sign ^{sk} (s): $e \leftarrow \text{InvertAlg}(s, T)$ renvoie e	Verify ^{pk} (s, e'): Si $e'H^T = s$ et $ e' = \omega$ renvoie 1 renvoie 0
--	---

1.3 Le décodage avec trappe

Détail de l'algorithme invertAlg avec utilisation de la trappe:

- Conditions sur le poids de e:
 - > facile
 - > facile avec trappe
 - > difficile
- Inverser le syndrome sur le code UV \iff inverser le syndrome sur U et sur V et prendre son image par Phi.
- Prendre un ev par un algo de décodage quelconque, utiliser les propriétés du code UV pour en déduire un eu, vérifier le poids de e, recommencer.
- Différences gros poids et petits poids

En partant de l'hypothèse que la matrice de parité \mathbf{H} du code $(U, U+V)$ -généralisé ressemble à une matrice aléatoire, la difficulté de créer une fausse signature sans connaître la trappe \mathbf{T} est exactement celle de résoudre le problème du décodage d'un code aléatoire, que l'on sait difficile. Nous allons expliciter dans cette section l'algorithme d'inversion de la fonction syndrome, et discuter sa difficulté en fonction du poids ω de e .

Notons $\mathcal{S}_{\omega, n}$ l'ensemble des mots de poids ω et de longueur n . On notera \mathcal{S}_{ω} s'il n'y a pas d'ambiguïté sur la longueur. On rappelle que l'algorithme **InvertAlg** cherche à inverser la fonction syndrome :

$$\begin{array}{lcl} f_{\omega, \mathbf{H}} : \mathcal{S}_{\omega, n} & \rightarrow & \mathbb{F}_q^{n-k} \\ \mathbf{e} & \mapsto & \mathbf{eH}^T \end{array}$$

On rappelle que la fonction $f_{\omega, \mathbf{H}}$ avec $\mathbf{H} \in \mathbb{F}_q^{(n-k) \times n}$ s'inverse génériquement si $\omega \in \{\omega_{easy}^-, \omega_{easy}^+\}$, où :

$$\omega_{easy}^- := \frac{q-1}{q}(n-k) \quad \text{et} \quad \omega_{easy}^+ := k + \frac{q-1}{q}(n-k).$$

Preuve. TODO □

On rappelle aussi que la fonction $f_{\omega, \mathbf{H}}$ admet un inverse pour toute entrée $s \in \mathbb{F}_q^{n-k}$ si $\omega \in \{\omega^-, \omega^+\}$, où :

$$\omega^- := ??? \quad \text{et} \quad \omega^+ := ???.$$

Preuve. TODO □

Nous voulons donc un moyen d'inverser la fonction syndrome pour $\omega \in \{\omega_{UV}^-, \omega_{UV}^+\}$ avec ω_{UV}^- et ω_{UV}^+ tels que :

$$\{\omega_{easy}^-, \omega_{easy}^+\} \subsetneq \{\omega_{UV}^-, \omega_{UV}^+\} \subset \{\omega^-, \omega^+\}$$

INSERER SCHEMA !!

Afin d'expliciter le décodage, introduisons la fonction :

$$\begin{aligned} \varphi_{\mathbf{a}, \mathbf{b}, \mathbf{c}, \mathbf{d}} : \mathbb{F}_q^{n/2} \times \mathbb{F}_q^{n/2} &\rightarrow \mathbb{F}_q^{n/2} \times \mathbb{F}_q^{n/2} \\ (\mathbf{x}, \mathbf{y}) &\mapsto (\mathbf{a} \cdot \mathbf{x} + \mathbf{b} \cdot \mathbf{y}, \mathbf{c} \cdot \mathbf{x} + \mathbf{d} \cdot \mathbf{y}) \end{aligned}$$

Si cette fonction respecte les conditions sur les vecteurs $\mathbf{a}, \mathbf{b}, \mathbf{c}, \mathbf{d}$ définies dans la définition 1.2, on dit qu'elle est UV-normalisée. Dans ce cas on peut vérifier qu'elle est bijective d'inverse :

$$\begin{aligned} \varphi_{\mathbf{a}, \mathbf{b}, \mathbf{c}, \mathbf{d}}^{-1} : \mathbb{F}_q^{n/2} \times \mathbb{F}_q^{n/2} &\rightarrow \mathbb{F}_q^{n/2} \times \mathbb{F}_q^{n/2} \\ (\mathbf{x}, \mathbf{y}) &\mapsto (\mathbf{d} \cdot \mathbf{x} - \mathbf{b} \cdot \mathbf{y}, -\mathbf{c} \cdot \mathbf{x} + \mathbf{a} \cdot \mathbf{y}) \end{aligned}$$

Ainsi, pour chaque vecteur \mathbf{e} de \mathbb{F}_q^n , on peut associer deux vecteurs \mathbf{e}_U et \mathbf{e}_V de $\mathbb{F}_q^{n/2}$ tels que

$$(\mathbf{e}_U, \mathbf{e}_V) = \varphi_{\mathbf{a}, \mathbf{b}, \mathbf{c}, \mathbf{d}}^{-1}(\mathbf{e}).$$

Proposition 1.7. Inverser $f_{\omega, \mathbf{H}}$ pour un certain $\mathbf{s} \in \mathbb{F}_q^{n-k}$ est équivalent à trouver $\mathbf{e} \in \mathbb{F}_q^n$ tel que:

$$\mathbf{e}_U \mathbf{H}_U^T = \mathbf{s}^U \quad \text{et} \quad \mathbf{e}_V \mathbf{H}_V^T = \mathbf{s}^V$$

où $\mathbf{s} = (\mathbf{s}^U, \mathbf{s}^V)$ avec $\mathbf{s}^U \in \mathbb{F}_q^{n/2-k_U}$ et $\mathbf{s}^V \in \mathbb{F}_q^{n/2-k_V}$.

Preuve. TODO □

Ainsi, on on aura :

```
InvertAlg(s, T) :
  (sU, sV) = s
  eU = DECODE_U(sU)
  eV = DECODE_V(sV)
  renvoie φa,b,c,d(eU, eV)
```

Si l'on choisit un algorithme générique pour DECODE_U et DECODE_V, alors nous obtiendrons un vecteur **e** de poids ω in $\{\omega_{easy}^-, \omega_{easy}^+\}$. Non allons montrer comment utiliser les propriétés des codes $(U, U+V)$ -généralisés pour permettre un décodage hors de cet intervalle.

Remarque 1.8. Pour tout $\mathbf{e} = \varphi_{a,b,c,d}(\mathbf{e}_U, \mathbf{e}_V)$, on a pour tout $i \in \{1, n/2\}$:

$$\begin{cases} a_i \mathbf{e}_U(i) + b_i \mathbf{e}_V(i) &= \mathbf{e}(i) \\ c_i \mathbf{e}_U(i) + d_i \mathbf{e}_V(i) &= \mathbf{e}(i + n/2) \end{cases}$$

Choisir la valeur de \mathbf{e}_U en fonction de la valeur de \mathbf{e}_V nous permettras donc d'influer sur le poids de **e**. On aura alors :

```
InvertAlg(s, T) :
  (sU, sV) = s
  eV = DECODE_V(sV)
  eU = DECODE_U(sU, eV)
  renvoie φa,b,c,d(eU, eV)
```

Proposition 1.9. Soit \mathbf{e}_V une sortie de DECODE_V. Soit DECODE_U un algorithme prenant en entrée \mathbf{s}_U et \mathbf{e}_V et renvoyant \mathbf{e}_U tel que $\mathbf{e}_U \mathbf{H}_U^T = \mathbf{s}_U$ et tel que pour k_U positions de \mathbf{e}_U

$$\begin{cases} a_i \mathbf{e}_U(i) + b_i \mathbf{e}_V(i) &\neq 0 \\ c_i \mathbf{e}_U(i) + d_i \mathbf{e}_V(i) &\neq 0 \end{cases}$$

Alors $\mathbf{e} = \varphi_{\mathbf{a}, \mathbf{b}, \mathbf{c}, \mathbf{d}}(\mathbf{e}_U, \mathbf{e}_V)$ a au moins $2k_U$ coordonnées non nulles. De plus les $n - k_U$ autres coordonnées sont uniformément distribuées sur \mathbb{F}_q .
On a alors

$$\mathbb{E}(|\mathbf{e}|) = \frac{q-1}{q}n + \frac{2k_U}{q}$$

et on peut alors espérer obtenir en temps polynomial des erreurs de poids:

$$\omega_{UV}^+ = \begin{cases} \frac{q-1}{q}n + \frac{2k}{q} & \text{si } k \leq n/2 \\ n & \text{sinon} \end{cases}$$

Preuve. TODO □

Proposition 1.10. Soit \mathbf{e}_V une sortie de `DECODE_V`. Soit `DECODE_U` un algorithme prenant en entrée \mathbf{s}_U et \mathbf{e}_V et renvoyant \mathbf{e}_U tel que $\mathbf{e}_U \mathbf{H}_U^T = \mathbf{s}_U$ et tel que pour k_U positions de \mathbf{e}_U

$$\begin{cases} a_i \mathbf{e}_U(i) + b_i \mathbf{e}_V(i) & = & 0 \\ c_i \mathbf{e}_U(i) + d_i \mathbf{e}_V(i) & = & 0 \end{cases} \quad (1)$$

On peut alors espérer obtenir en temps polynomial des erreurs de poids:

$$\omega_{UV}^- = \begin{cases} \frac{q-1}{q}(n - 2k) & \text{si } k \leq n/(2q) \\ \frac{2(q-1)^2}{(2q-1)q}(n - k) & \text{sinon} \end{cases} \quad (2)$$

Preuve. Il n'existe de solution au système (1) que si $\mathbf{e}_V(i) = 0$ car pour tout i on a $a_i d_i - b_i c_i \neq 0$. De ce fait, à l'inverse du cas où nous souhaitons des erreurs de gros poids, l'ensemble d'indices où l'on peut gagner deux fois est réduit à $n/2 - |\mathbf{e}_V|$. De ce fait le poids minimal que nous pouvons espérer pour \mathbf{e}_V est $|\mathbf{e}_V|_{\min} := \frac{q-1}{q}(n/2 - k_V)$. Ainsi :

- Si $k_U \leq n/2 - |\mathbf{e}_V|_{\min}$, nous pouvons obtenir des erreurs e telles que :
 - $2k_U$ coordonnées sont nulles.
 - Les autres coordonnées sont uniformément distribuées.
- Sinon, nous pouvons obtenir des erreurs e telles que :
 - $2(n/2 - |\mathbf{e}_V|_{\min})$ sont nulles.

- $k_U - (n/2 - |\mathbf{e}_V|_{min})$ autres coordonnées sont nulles tandis que $k_U - (n/2 - |\mathbf{e}_V|_{min})$ sont non nulles.
- Les autres coordonnées sont uniformément distribuées.

A PROUVER !!!!!

□

On récapitule les différents cas dans la figure 1.3.

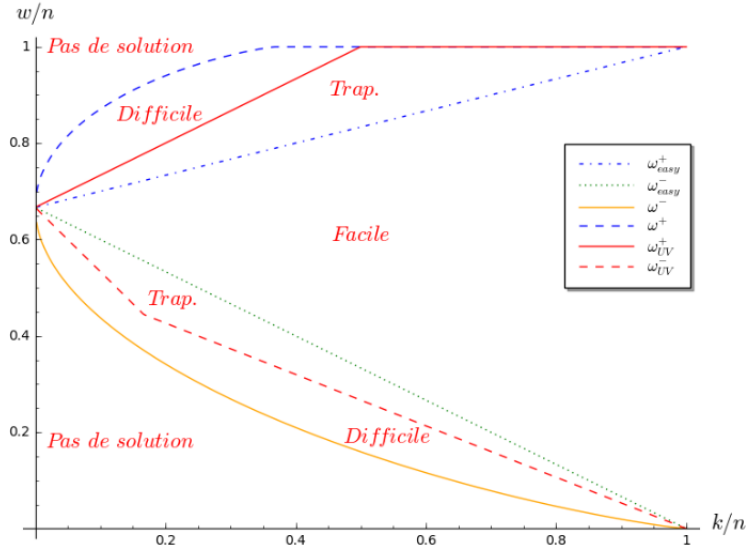


Figure 1: Comparaison des distances w/n avec et sans trappe en fonction du rendement.

La connaissance de la trappe apporte donc bien un avantage puisqu'elle permet un décodage pour des erreurs de poids ne permettant pas de décodage générique.

Remarque 1.11. Fonction de hash

1.4 Implémentation et choix de paramètres

TODO

Détail de DECODE U et DECODE V + choix des paramètres et choix d'implémentation + résultats

2 Uniformisation des signatures et syndromes

2.1 Une fuite d'information

Afin d'assurer la sécurité du système, il est nécessaire que les $\mathbf{e} \in f_{w,\mathbf{H}}^{-1}(\mathbf{s})$ ne révèlent pas d'information sur la structure du code $(U, U+V)$ -généralisé utilisé.

Or, si la sortie \mathbf{e}_V de `DECODE_V` n'est pas uniforme, alors des corrélations entre les coordonnées \mathbf{e}_i et $\mathbf{e}_{i+n/2}$ du vecteur \mathbf{e} .

Par exemple, prenons le cas où $q = 3$, et où pour tout $i \in \{1, n/2\}$, $a_i = c_i = d_i = 1$ et $b_i = 0$, et où `DECODE_V` est l'algorithme de Prange.

On a alors pour tout $\mathbf{e} = (\mathbf{e}_U, \mathbf{e}_U + \mathbf{e}_V)$

$$|\mathbf{e}_V| = \# \{1 \leq i \leq n/2 \mid e_i \neq e_{i+n/2}\}$$

Proposition 2.1. Si le vecteur \mathbf{e}_V est obtenu par l'algorithme de Prange, alors il est de poids moyen $\frac{2}{3}(\frac{n}{2} - k_V)$.

Preuve. TODO □

Alors, pour tout $i \in \{1, n/2\}$, on a :

$$\mathbb{P}(\mathbf{e}_i \neq \mathbf{e}_{i+n/2}) = \frac{2}{3(n/2)}(n/2 - k_V)(1 + o(1))$$

PREUVE

En revanche, pour les autres paires (i, j) , on a :

$$\mathbb{P}(\mathbf{e}_i \neq \mathbf{e}_j) = \frac{4wn - 3w^2 - w}{n(n-1)}$$

PREUVE

Ces deux probabilités n'ont donc aucune raison d'être égales. On a donc une fuite d'information. En effet, dans la pratique et afin de cacher la structure, on effectue une permutation sur les coordonnées de \mathbf{e} lors de la signature. Si un attaquant récupère suffisamment de signatures, il pourra donc en analysant la fréquence des $\mathbf{e}_i \neq \mathbf{e}_j$ retrouver cette permutation. Il est donc nécessaire pour la sécurité du schéma de s'assurer de l'uniformité des sorties de l'algorithme `sign`.

2.2 La méthode du rejet

Afin de s'assurer un \mathbf{e} uniforme dans son ensemble, nous allons :

- choisir \mathbf{e}_V de façon à ce qu'il soit uniforme dans son ensemble
- mettre des conditions de rejet sur \mathbf{e}_U en fonction du poids de \mathbf{e}_V afin de supprimer le biais sur l'ensemble

$$m_1(x) := \# \{1 \leq i \leq n/2 ; |(x_i, x_{i+n/2})| = 1\}$$

Avant d'expliciter nos algorithmes, il est nécessaire d'introduire quelques notations et définitions.

Notation 2.2. On notera :

- \mathbf{e}^{unif} la variable aléatoire tirée uniformément dans l'ensemble $S_{w,n}$
- \mathbf{e}_V^{unif} la variable aléatoire tirée uniformément dans les mots de $\mathbb{F}_q^{n/2}$
- \mathbf{e}_U^{unif} la variable aléatoire tirée uniformément dans les mots de $\mathbb{F}_q^{n/2}$ conditionné au vecteur \mathbf{e}_V^{unif}

Définition 2.3. (uniforme en poids et m_1 -uniforme)

- **DECODE_V** est dit uniforme en poids si ces sorties \mathbf{e}_V sont telles que $\mathbb{P}(\mathbf{e}_V)$ n'est fonction que du poids de \mathbf{e}_V quand \mathbf{s}^V est tiré uniformément dans son ensemble.
- **DECODE_U** est dit m_1 -uniforme si ces sorties \mathbf{e}_U sont telles que $\mathbb{P}(\mathbf{e}_U \mid \mathbf{e}_V)$ n'est fonction que du poids de \mathbf{e}_V et de $m_1(\varphi(\mathbf{e}_U, \mathbf{e}_V))$.

Lemme 2.4. Soit \mathbf{e} la sortie de **InvertAlg** avec \mathbf{s}_U et \mathbf{s}_V choisis uniformément dans leurs ensembles. Soit **DECODE_V** uniforme en poids et **DECODE_U** m_1 -uniforme. Si pour tout y et z

$$|\mathbf{e}_V| \sim |\mathbf{e}_V^{unif}| \quad \text{et} \quad \mathbb{P}(m_1(\mathbf{e}) = z \mid |\mathbf{e}_V| = y) = \mathbb{P}(m_1(\mathbf{e}^{unif}) = z \mid |\mathbf{e}_V^{unif}| = y)$$

Alors

$$\mathbf{e} \sim \mathbf{e}_V^{unif}.$$

Preuve. TODO □

Ainsi, pour que \mathbf{e} soit uniformément distribué sur S_ω , il suffit de choisir `DECODE_V` de façon à ce que ses sorties soient uniformes sur $\mathbb{F}_q^{n/2}$ puis d'ajouter une condition de rejet sur les sorties de `DECODE_U` de façon à ce que $m_1(\mathbf{e})$ conditionnée à $|\mathbf{e}_V|$ soit distribué comme $m_1(\mathbf{e}^{unif})$ conditionnée à $|\mathbf{e}_V^{unif}|$.

Proposition 2.5. Soit l'algorithme :

```

DECODE_UV ( $\mathbf{H}_V, \mathbf{H}_V, \varphi, \mathbf{s}$ ) :
   $\mathbf{e}_V \leftarrow \text{DECODE\_V}(\mathbf{H}_V, \mathbf{s}^V)$ 
  Faire
     $\mathbf{e}_U \leftarrow \text{DECODE\_U}(\mathbf{H}_U, \mathbf{s}^U, \varphi, \mathbf{e}_V)$ 
     $\mathbf{e} \leftarrow \varphi(\mathbf{e}_U, \mathbf{e}_V)$ 
  Tant que  $\text{rand}([0, 1]) \leq r(|\mathbf{e}_V|), m_1(\mathbf{e})$ 
  retourner  $\mathbf{e}$ 

```

Où :

$$r(s, t) := \frac{1}{M(t)} \frac{q^{unif}(s, t)}{q(s, t)}$$

$$q(s, t) := \mathbb{P}(m_1(\mathbf{e}) = s \mid |\mathbf{e}_V| = t)$$

$$q^{unif}(s, t) := \mathbb{P}(m_1(\mathbf{e}^{unif}) = s \mid |\mathbf{e}_V^{unif}| = t)$$

$$M(t) := \max_{0 \leq s \leq t} \frac{q^{unif}(s, t)}{q(s, t)}$$

Alors si `DECODE_V` est uniforme en poids et si `DECODE_U` est m_1 -uniforme, on a $\mathbf{e} \sim \mathbf{e}^{unif}$.

Preuve. TODO □

2.3 Choix des algorithmes de décodage

description explicite de `DECODE_V`

description explicite de `DECODE_U`

Application de la méthode du rejet selon ces choix et choix des distributions.

2.4 Estimation du nombre de rejet

Algorithme 1 `DecodeUV`($\varphi, \mathbf{s}, \mathbf{H}_V, \mathbf{H}_U$)

Entrées: $\varphi, \mathbf{s} \in \mathbb{F}_q^{n-k}$ un syndrome, $\mathbf{H}_V \in \mathbb{F}_q^{(\frac{n}{2}-k_V) \times \frac{n}{2}}$, $\mathbf{H}_U \in \mathbb{F}_q^{(\frac{n}{2}-k_U) \times \frac{n}{2}}$

Sortie: $\mathbf{e} = \varphi(e_U, e_V)$ avec $\mathbf{e}_U \mathbf{H}_U^T = \mathbf{s}^U$ et $\mathbf{e}_V \mathbf{H}_V^T = \mathbf{s}^V$

- 1: $\mathbf{e}_V \leftarrow \text{DecodeV}(\mathbf{s}^V, \mathbf{H}_V)$
 - 2: **Faire**
 - 3: $\mathbf{e}_U \leftarrow \text{DecodeU}(\varphi, \mathbf{e}_V, \mathbf{s}^U, \mathbf{H}_U)$
 - 4: $\mathbf{e} \leftarrow \varphi(\mathbf{e}_U, \mathbf{e}_V)$
 - 5: **Tant que** $\text{rand}([0, 1]) > \mathbf{r}_U(|\mathbf{e}_V|, m_1(\mathbf{e}))$
 - 6: **Retourne** \mathbf{e}
-

Algorithme 2 `DecodeV`(\mathbf{s}^V)

- 1: c mot aléatoire du code V
 - 2: $\mathbf{s} \leftarrow$ le syndrome \mathbf{s}^V paddé avec des zéros
 - 3: $\mathbf{e}_V \leftarrow \mathbf{s} + c$
 - 4: **Retourne** \mathbf{e}_V
-

dire $d \in [0, k_U]$

Définition 2.6. (Bon ensemble).

Soient $d \leq k \leq n$, $\mathbf{H} \in \mathbb{F}_3^{(n-k) \times n}$ et $\varepsilon \subseteq \llbracket 1, n \rrbracket$ de taille $k - d$. On dit que ε est un bon ensemble pour \mathbf{H} si $\mathbf{H}_{\bar{\varepsilon}}$ est de rang plein. Sinon, on dit que ε est un mauvais ensemble.

Nous voulons compter le nombre de rejets moyen, pour cela nous allons comparer \mathbf{e} la sortie de `DecodeUV` avec \mathbf{e}^{unif} une erreur aléatoire uniforme de poids ω .

Nous savons dores et déjà que la sortie de `DecodeV` est uniforme, nous allons donc étudier la sortie de `DecodeU`. Nous introduisons pour cela `VarDecodeU`

Algorithme 3 DecodeU($\varphi, \mathbf{e}_V, \mathbf{s}^U, \mathbf{H}_U$)

```

1:  $t \leftarrow |\mathbf{e}_V|$ 
2:  $k_0 \leftarrow \mathcal{D}_U^t$ 
3: Faire
4:    $\mathcal{I} \leftarrow$  ensemble d'information de  $\langle \mathbf{H} \rangle^\perp$ 
5:    $\mathcal{J} \subset \mathcal{I}$  de taille  $k - d$  tel que  $|\mathbf{e}_V|_{\mathcal{J}} = k_0$ 
6:    $x_U \leftarrow \{x \in \mathbb{F}_3^{n/2} | \forall j \in \mathcal{J}, x_j \notin \{-\frac{b_i}{a_i} \mathbf{e}_{V_i}, -\frac{d_i}{c_i} \mathbf{e}_{V_i}\}\}$ 
7: Tant que  $|\varphi(\mathbf{e}_U, \mathbf{e}_V)| \neq \omega$ 
8: Retourne  $\mathbf{e}_U$ 

```

qui fonctionne de la même façon que DecodeU quand \mathcal{J} est un bon ensemble pour \mathbf{H} et qui renvoie une erreur aléatoire selon la distribution \mathcal{D}_U^t sur \mathcal{J} dans le cas contraire. Il n'y a donc aucune raison que la sortie soit une solution du problème de décodage lorsque \mathcal{J} n'est pas un bon ensemble pour \mathbf{H} . Nous pouvons facilement voir que VarDecodeU est m_1 -uniforme.

La sortie de l'algorithme DecodeUV utilisant VarDecodeU est alors uniforme, on la note \mathbf{e}^{unif} .

Définition 2.7. $(J_{x_V, l}^{unif}, J_{x_V, l}^{\mathbf{H}_U})$.

- $J_{x_V, l}^{unif}$ et un ensemble choisi uniformément tel que $J_{x_V, l}^{unif} \subseteq \llbracket 1, n/2 \rrbracket$, $J_{x_V, l}^{unif}$ est de cardinal $k_U - d$ et $\#J_{x_V, l}^{unif} \cap \text{Supp}(x_V) = k_0$.
- $J_{x_V, l}^{\mathbf{H}_U}$ est défini de la même façon avec une contrainte supplémentaire : il fait parti des bons ensembles pour \mathbf{H}_U .

Pour pouvoir compter le nombre de rejets, nous allons avoir besoin des lemmes suivants dont les preuves sont en annexes.

Lemme 2.8.

$$\rho(\mathbf{e}, \mathbf{e}^{unif}) \leq \sum_{x_V, l} \rho(J_{x_V, l}^{\mathbf{H}_U}, J_{x_V, l}^{unif}) \mathbb{P}(k_0 = l, \mathbf{e}_V = x_V)$$

Lemme 2.9.

$$\mathbb{E} \left(\rho \left(J_{x_V, l}^{unif}, J_{x_V, l}^{\mathbf{H}_U} \right) \right) \leq \frac{3^{-d}}{2} \quad (3)$$

Lemme 2.10. (Inégalité de Markov).

Soit Z une variable aléatoire supposée presque sûrement positive ou nulle, alors

$$\forall a > 0 \quad \mathbb{P}(Z > a) \leq \frac{\mathbb{E}(Z)}{a}$$

Nous pouvons maintenant énoncer le théorème suivant :

Théorème 2.11. Soit \mathbf{e} la sortie de `DecodeUV` et \mathbf{e}^{unif} la variable aléatoire uniformément distribuée parmi les mots de poids ω . On a :

$$\mathbb{P}(\rho(\mathbf{e}, \mathbf{e}^{unif}) > 3^{-d/2}) \leq \frac{3^{-d/2}}{2}$$

Preuve.

$$\begin{aligned} & \mathbb{P}(\rho(\mathbf{e}, \mathbf{e}^{unif}) > 3^{-d/2}) \\ & \leq 3^{d/2} \mathbb{E}(\rho(\mathbf{e}, \mathbf{e}^{unif})) \quad \text{par l'inégalité de Markov} \\ & \leq 3^{d/2} \mathbb{E} \left(\sum_{x_V, l} \rho(J_{x_v, l}^{\mathbf{H}_U}, J_{x_v, l}^{unif}) \mathbb{P}(k_0 = l, \mathbf{e}_V = x_V) \right) \quad \text{d'après le lemme 2.8} \\ & \leq 3^{d/2} \left(\sum_{x_V, l} \frac{3^{-d}}{2} \mathbb{P}(k_0 = l, \mathbf{e}_V = x_V) \right) \quad \text{par (3)} \\ & = 3^{d/2} \frac{3^{-d}}{2} \left(\sum_{x_V, l} \mathbb{P}(k_0 = l, \mathbf{e}_V = x_V) \right) \\ & = \frac{3^{-d/2}}{2} \end{aligned}$$

□

La probabilité d'avoir un rejet équivaut à la probabilité d'avoir une distance significative entre \mathbf{e} et \mathbf{e}^{unif} . D'après le théorème 2.11, nous voyons donc qu'en augmentant d , nous aurons très peu de rejets.

2.5 Une famille de fonctions uniformément distribuée

On a donc le point (2) de la définition des fonctions GPV qui est obtenu dans la section précédente. On va montrer le point (1), à savoir, notre famille de fonctions syndrômes est uniformément distribuée avec les codes $(U, U+V)$ -généralisés

3 Sécurité du schéma

Deux problèmes :

- Distinction d'une matrice de parité d'un code $(U, U+V)$ -généralisé permutée d'une matrice aléatoire
- Sécurité EUF-CMA du système si H ressemble à une matrice aléatoire

3.1 Sécurité EUF-CMA

Nous allons montrer que le schéma est sûr au sens EUF-CMA (Existential Unforgeability under Chosen Message Attacks). Pour cela nous ferons une réduction au problème DOOM.

3.1.1 Définitions

Soit \mathcal{A} un adversaire ayant accès à N_{sign} signatures de son choix.

Définition 3.1. (Modèle de sécurité EUF-CMA). On définit 3 algorithmes :

Init: $(pk, sk) \leftarrow \text{Gen}(1^\lambda)$ $\mathbf{H}_{pk} \leftarrow pk$ $(\varphi, \mathbf{H}_U, \mathbf{H}_V) \leftarrow sk$ renvoie \mathbf{H}_{pk}	Sign(s): $\mathbf{e} \leftarrow \mathcal{D}_{\varphi, \mathbf{H}_U, \mathbf{H}_V}(s)$ renvoie \mathbf{e}
	Fin(s, e): renvoie $(\mathbf{e}\mathbf{H}_{pk}^T = s) \wedge (\mathbf{e} = \omega)$

Le jeu EUF-CMA se déroule comme suit. \mathcal{A} fait appel à **Init**. Il peut ensuite faire N_{sign} requêtes à **sign**. Le jeu est dit réussi si \mathcal{A} est capable de donner (s, e) accepté par **Fin** et tel que s n'est jamais été demandé à **Sign**. On définit alors le succès EUF-CMA comme :

$$Succ_{Wave}^{EUF-CMA}(t, N_{sign}) := \max_{\mathcal{A}; |A| \leq t} (\mathbb{P}(\mathcal{A} \text{ réussit le jeu EUF-CMA de Wave})).$$

Le protocole est alors sûr au sens EUF-CMA si ce succès est négligeable.

Nous souhaitons donc montrer que notre système est sûr au sens EUF-CMA. Pour cela, nous allons dans la section suivante majorer ce succès par rapport au succès d'un problème connu, le problème DOOM.

3.1.2 Réduction au problème DOOM

Définition 3.2. (Le problème DOOM). Soient des paramètres (n, q, k, ω, N) , où N est un entier.

$I : \mathbf{H}$ une matrice uniforme de $\mathbb{F}_q^{(n-k) \times n}$ et $(\mathbf{s}_1, \dots, \mathbf{s}_N)$ une liste de N syndromes.

Q : Décoder l'un des syndromes à la distance $w := \lfloor \omega n \rfloor$.

On définit alors le succès de DOOM comme :

$$Succ^{DOOM(n,q,k,N)}(t) := \max_{\mathcal{A}; |\mathcal{A}| \leq t} (\mathbb{P}(\mathcal{A}(\mathbf{H}, \mathbf{s}_1, \dots, \mathbf{s}_N) = \mathbf{e} \text{ tel que}$$

$$\mathbf{e}\mathbf{H}^T = \mathbf{s}_j \text{ pour un certain } j \in \{1, \dots, N\})).$$

La réduction à ce problème est naturelle pour un schéma de signature puisque JHFEKHZFKHFKZEHFILZEJHFKLZEJFHJ.

EXPLICATION INFORMELLE DE LA REDUCTION, POURQUOI ELLE VA MARCHER

3.1.3 Preuve formelle de la réduction

AJOUTER EUF-CMA AVEC FONCTION DE HACHAGE

Pour faire une preuve formelle de cette réduction, nous allons introduire un système de jeux qui nous permettra de réduire la sécurité d'un système à un problème P . Soit \mathcal{A} un attaquant et \mathcal{R} un rival. Soient G_0, G_1, \dots, G_N un ensemble de jeux et soit $\mathbb{P}(G_i)$ la probabilité pour \mathcal{A} de répondre au défi posé par \mathcal{R} pour le jeu G_i . $\mathbb{P}(G_0)$ est alors la probabilité de cassé le système considéré et $\mathbb{P}(G_N)$ la probabilité de répondre au problème P .

L'idée est de changer pas à pas les jeux G_0 à G_N de façon à ce que :

$$\forall i \in 0, \dots, N-1, |\mathbb{P}(G_i) - \mathbb{P}(G_{i+1})| \in \text{negl}(\lambda) \implies |\mathbb{P}(G_0) - \mathbb{P}(G_N)| \in \text{negl}(\lambda)$$

où λ est un paramètre de sécurité. Autrement dit, les changements sur les jeux ne changent qu'à un facteur négligeable près les probabilités de succès de l'attaquant \mathcal{A} .

Il n'est pas possible de changer le comportement de \mathcal{A} puisqu'il est quelconque, en revanche nous pouvons modifier celui de \mathcal{R} .

EVENTUELLEMENT METTRE LES 3 conditions mais je ne pense pas que ça soit nécessaire.

Théorème 3.3. (Réduction de sécurité).

Soit N_{sign} le nombre de requêtes faites à l'oracle de signature. Soit λ le paramètre de sécurité et $\lambda_0 = \lambda + 2 \log_2(N_{sign})$. On a :

$$Succ_{Wave}^{EUF-CMA}(t, N_{sign}) \leq 2Succ^{DOOM(n,q,k,N)}(t) + \rho(\mathcal{D}_{rand}, \mathcal{D}_{pub})(t) +$$

$$f(\mathcal{U}_\omega, \mathcal{D}_\omega^{\mathbf{H}^{pk}}) + g(\epsilon) + c + \frac{N_{hash}}{2} \sqrt{\epsilon} + \frac{1}{2^\lambda}$$

Preuve. On rappelle que G_0 correspond à notre jeu pour la sécurité EUF-CMA de Wave.

- G_1 : Le jeu G_1 est identique au jeu G_0 sauf si l'évènement

$$F := \{\text{Un même aléa } r \text{ a été tiré lors de deux requêtes d'un même message à l'oracle de signature}\}.$$

On a alors

$$\mathbb{P}(G_0) \leq \mathbb{P}(G_1) + \mathbb{P}(F)$$

Or pour $\lambda_0 = \lambda + 2 \log_2(N_{sign})$, la probabilité que l'évènement F se produise est majorée par $\frac{1}{2^\lambda}$. C'est donc négligeable et le changement est autorisé.

- G_2 : Le passage au jeu G_2 permet d'empêcher \mathcal{A} de faire appel à l'oracle de signature sur les syndrome du problème DOOM. L'idée est de créer une liste suffisamment grande L_m d'aléas tous différents. On modifie alors la fonction **hash** de cette façon :

1. Si **hash** est appelée par la fonction **sign**, alors les aléas seront pris successivement dans L_m et associés à un vecteur erreur $\mathbf{e}_{m,r}$ (stocké) pris uniformément dans S_ω . Elle renvoie alors $\mathbf{s} = \mathbf{e}_{m,r} \mathbf{H}^T$.
2. En revanche si **hash** est appelée hors de la fonction **sign** par \mathcal{A} , alors elle son comportement dépendra de l'aléa. Si r est dans L_m elle se comporte comme si elle avait été appelée par **sign** et renvoie $\mathbf{e}_{m,r} \mathbf{H}^T$. Sinon elle renvoie successivement les syndromes du problème DOOM.

On prend donc dans la fonction **sign** toujours le r suivant de L_m . On a alors changé le jeu en supprimant le cas où deux mêmes r sont tirés lors de la signature. Cela ne pose pas de problème grace au passage à

G_1 . Le passage au jeu G_2 permettra ainsi de s'assurer par la suite que \mathcal{A} n'a pas fait d'appel à **sign** sur les syndromes du problème DOOM. On a alors

$$\mathbb{P}(G_1) \leq \mathbb{P}(G_2) + \frac{N_{hash}}{2} \sqrt{\epsilon}$$

où ϵ est une fonction en n qui décroît exponentiellement. C'est donc bien négligeable.

- G_3 : Le jeu G_3 permet à l'oracle de signature de se passer de l'algorithme de décodage, et donc de la trappe T . Il sera nécessaire pour remplacer la matrice du code $(U, U+V)$ -généralisé par la matrice aléatoire de l'instance du problème DOOM. Pour passer au jeu G_3 , on modifie la sortie de **sign**. Au lieu de renvoyer le couple (\mathbf{e}, r) où $\mathbf{e} = D_{\varphi, H_U, H_V}$, on renvoie le couple $(\mathbf{e}_{m,r}, r)$ préalablement stocké. La différence de succès dépend de ω et des différences de distribution entre \mathcal{U}_ω et $\mathcal{D}_\omega^{\mathbf{H}_{pk}}$, où \mathcal{U}_ω est la distribution uniforme sur S_ω et où \mathcal{U}_ω et $\mathcal{D}_\omega^{\mathbf{H}_{pk}}$ est la distribution des couples (e, r) où r est un aléa uniforme dans $\{0, 1\}^{\lambda_0}$ et e est la sortie de l'algorithme de décodage avec trappe sur une entrée s prise uniformément dans \mathbb{F}_q^{n-k} . On a alors

$$\mathbb{P}(G_2) \leq \mathbb{P}(G_3) + f(\mathcal{U}_\omega, \mathcal{D}_\omega^{\mathbf{H}_{pk}}) + g(\epsilon) + c$$

où f et g sont linéaires et c une certaine constante.

- G_4 : On peut maintenant remplacer \mathbf{H}_{pk} par \mathbf{H}_0 . Ce changement ne pose pas de problème puisque **sign** n'utilise plus la trappe. En revanche, nous avons créé un distingueur entre la distribution ($:= \mathcal{D}_{rand}$) des matrices prises aléatoirement dans $\mathbb{F}_q(n-k) \times n$ et la distribution ($:= \mathcal{D}_{pub}$) des matrices prises aléatoirement dans l'ensemble des matrices de parité d'un code $(U, U+V)$ -généralisé où U (resp. V) est un $[n/2, k_U]$ -code (resp. $[n/2, k_V]$ -code). On a alors

$$\mathbb{P}(G_3) \leq \mathbb{P}(G_4) + \rho(\mathcal{D}_{rand}, \mathcal{D}_{pub})(t)$$

- G_5 : On change ici la procédure de fin. On rajoute à la vérification la condition $r \notin L_m$. Ainsi on est bien sûr que \mathcal{A} réussit le jeu s'il répond au problème DOOM. Alors la probabilité que \mathcal{A} réussisse G_5 est exactement la probabilité que \mathcal{A} réussisse G_4 et $r \notin L_m$. On a alors

$$\mathbb{P}(G_4) \leq 2\mathbb{P}(G_5) + \rho(\mathcal{D}_{rand}, \mathcal{D}_{pub})(t)$$

où $\mathbb{P}(G_5)$ est exactement la probabilité pour \mathcal{A} de renvoyer $\mathbf{e}_j \in S_\omega$ et tel que $\mathbf{e}_j \mathbf{H}_0^T = \mathbf{s}_j$ pour un certain indice j du problème DOOM. On a donc

$$\mathbb{P}(G_5) \leq Succ_{DOOM}^{n,k,N_{hash},\omega}(t)$$

En rassemblant toutes les inégalités on termine la preuve. (On trouvera le détail des preuves de probabilité en annexe de ce rapport.) \square

3.2 Indistinguabilité des codes (U,U+V)-généralisés

Distinguer une matrice de parité d'un code (U,U+V)-généralisé d'une matrice de parité aléatoire.

Réduction à un problème NP-complet.

Utilisation de S et P pour masquer les propriétés de la matrice.

Conclusion

annexe

Preuve du lemme 2.8. Nous allons avoir besoin dans la suite de la proposition suivante :

Proposition 3.4. Soient X et Y deux variables aléatoires dans le même espace A et Z une variable aléatoire dans l'espace B indépendante de X et Y . Alors, pour toute fonction f , nous avons :

$$\rho(f(X, Z), f(Y, Z)) \leq \rho(X, Y)$$

$$\begin{aligned} \rho(\mathbf{e}, \mathbf{e}^{unif}) &= \rho((\mathbf{e}_U, \mathbf{e}_V), (\mathbf{e}_U^{unif}, \mathbf{e}_V^{unif})) \\ &\leq \sum_{x_U, x_V} \left| \mathbb{P}((\mathbf{e}_U, \mathbf{e}_V) = (x_U, x_V)) - \mathbb{P}((\mathbf{e}_U^{unif}, \mathbf{e}_V^{unif}) = (x_U, x_V)) \right| \\ &= \sum_{x_U, x_V} \left| \mathbb{P}(\mathbf{e}_V = x_V) \mathbb{P}(\mathbf{e}_U = x_U | \mathbf{e}_V = x_V) - \mathbb{P}(\mathbf{e}_V^{unif} = x_V) \mathbb{P}(\mathbf{e}_U^{unif} = x_U | \mathbf{e}_V^{unif} = x_V) \right| \\ &= \sum_{x_U, x_V} \mathbb{P}(\mathbf{e}_V = x_V) \left| \mathbb{P}(\mathbf{e}_U = x_U | \mathbf{e}_V = x_V) - \mathbb{P}(\mathbf{e}_U^{unif} = x_U | \mathbf{e}_V^{unif} = x_V) \right| \end{aligned}$$

Étudions le terme $\mathbb{P}(\mathbf{e}_U = x_U | \mathbf{e}_V = x_V) - \mathbb{P}(\mathbf{e}_U^{unif} = x_U | \mathbf{e}_V^{unif} = x_V)$:

$$\begin{aligned} &\mathbb{P}(\mathbf{e}_U = x_U | \mathbf{e}_V = x_V) - \mathbb{P}(\mathbf{e}_U^{unif} = x_U | \mathbf{e}_V^{unif} = x_V) = \\ &\sum_l \left[\mathbb{P}(\mathbf{e}_U = x_U | k_0 = l, \mathbf{e}_V = x_V) - \mathbb{P}(\mathbf{e}_U^{unif} = x_U | k_0 = l, \mathbf{e}_V^{unif} = x_V) \right] \mathbb{P}(k_0 = l | \mathbf{e}_V = x_V) \end{aligned}$$

Les ensembles \mathcal{J} étant inclus dans un ensemble d'information, l'aléa interne de `DecodeU` et de `VarDecodeU` ne dépendent pas du choix de $J_{x_V, l}^{unif}$ et $J_{x_V, l}^{\mathbf{H}_U}$.

Nous pouvons voir que $\mathbb{P}(\mathbf{e}_U = x_U | k_0 = l, \mathbf{e}_V = x_V)$ ne dépend que de x_U et $J_{x_V, l}^{\mathbf{H}_U}$ et $\mathbb{P}(\mathbf{e}_U^{unif} = x_U | k_0 = l, \mathbf{e}_V^{unif} = x_V)$ ne dépend que de x_U et $J_{x_V, l}^{unif}$. De plus, $J_{x_V, l}^{unif}$ et $J_{x_V, l}^{\mathbf{H}_U}$ vivent dans le même espace. Ainsi d'après la proposition 3.4, nous avons

$$\sum_{x_U} \mathbb{P}(\mathbf{e}_U = x_U | k_0 = l, \mathbf{e}_V = x_V) - \mathbb{P}(\mathbf{e}_U^{unif} = x_U | k_0 = l, \mathbf{e}_V^{unif} = x_V) \leq \rho(J_{x_V, l}^{\mathbf{H}_U}, J_{x_V, l}^{unif})$$

$$\rho \left(J_{x_V, l}^{unif}, J_{x_V, l}^{\mathbf{H}_U} \right) = \frac{N_{x_V, l}}{\binom{|x_V|}{l} \binom{n/2 - |x_V|}{k_U - d - l}} \quad (4)$$

Avec $N_{x_V, l}$ le nombre de mauvais sous-ensembles de $\llbracket 1, n/A \rrbracket$ de taille $k_U - d$ pour \mathbf{H}_U . \square